

4. Matuura N. Atlas of ionospheric critical frequency ( $f_0F2$ ) obtained from ionosphere sounding Satellite-b observation. Part I. August to December 1978. Issued in March 1979 by Posts and Telecommunications Japan. 112 p.
5. Гордиенко Г. И., Козина П. Е., Рудина М. П., Фаткуллин М. Н. // Физические процессы в ионосфере и магнитосфере. М.: Наука, 1984. С. 97.
6. Денисов М. Г., Карпачев А. Т. // Геомагнетизм и аэрономия. 1986. Т. 26. С. 682.

Институт земного магнетизма, ионосферы и распространения радиоволн АН СССР  
Институт космофизических исследований и аэрономии Якутского филиала СО АН СССР

Поступила в редакцию  
19.VI 1987

УДК 550.388.2

## ВАРИАЦИИ ЭЛЕКТРОННОЙ КОНЦЕНТРАЦИИ НА ПОЛЯРНОЙ СТЕНКЕ ГЛАВНОГО ИОНОСФЕРНОГО ПРОВАЛА В ПЕРИОДЫ СУББУРЬ

Бенькова Н. П., Зикрач Э. К., Федякина Н. И., Мамруков А. П.,  
Строд Н. С., Шестакова Л. Б., Афонин В. В.

По результатам измерений электронной концентрации во внешней ионосфере на ИСЗ К-900 показано образование дополнительных субпровалов на полюсной стороне главного провала во время суббурь.

В ряде работ неоднократно отмечалась негладкая структура главного ионосферного провала (ГИП) и его полярной стенки. Так, например, авторы [1, 2] обратили внимание, что в результате неравномерного струйного конвективного течения плазмы на уровне области  $F$  можно ожидать нерегулярности структуры ГИП. В [3] путем решения модельной задачи в достаточно упрощенных условиях показано, что в периоды суббурь на полярной стенке ГИП образуется завихрение конвекции (замкнутая ячейка), вызывающее дополнительное понижение электронной концентрации  $N_e$  или субпровал. Ниже описан возмущенный период 1–2.XII 1977 г., во время которого на полярной стенке ГИП развивались достаточно четкие субпровалы,

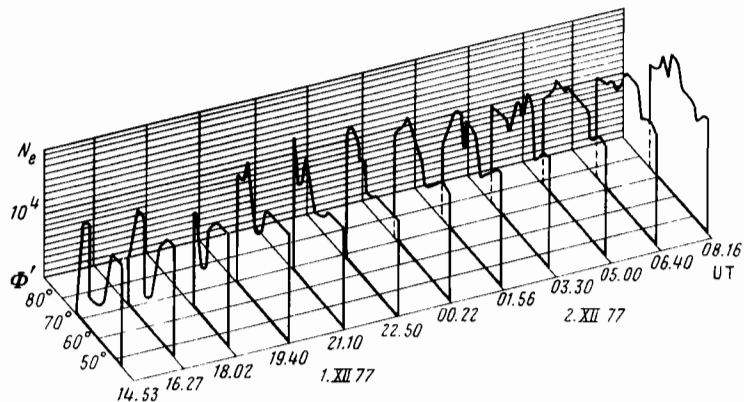


Рис. 1. Широтные профили  $N_e$  по измерениям на ИСЗ «Космос-900» 1–2.XII 1977 г. Горизонтальные оси – мировое время пересечения спутником днища ГИП и инвариантная широта ГИП; вертикальная ось –  $N_e$ , см<sup>-3</sup>

наличие которых может служить иллюстрацией раздвоения ГИП, теоретически предсказанного в [3].

На рис. 1 приведены широтные профили  $N_e$  вдоль орбит ИСЗ «Космос-900» для 12 пролетов в раннем утреннем секторе (03–05 ч LT) над северным полушарием 1–2.XII 1987 г. На шкале времени обозначено мировое время пересечения спутником минимума провала. Измерения  $N_e$  на ИСЗ проводились ежесекундно при помощи трехэлектродной ионной ловушки. На рис. 2 представлена магнитная ситуация за возмущенный период. В конце 1.XII – начале 2.XII наблюдалась большая буря, на которую наложились три суббури: 20–22 ч 1.XII, 01–08 ч и 09–11 ч UT 2.XII. Из рис. 1 и 2 видно, что на трех первых пролетах, относящихся к невозмущенным условиям (1.XII, 15–18 ч UT), наблюдается глубокий провал с электронной плотностью в минимуме провала  $N_{e\min} \sim (4 \div 7) \cdot 10^3$  см<sup>-3</sup>. Величина  $N_e$  на полюсной и

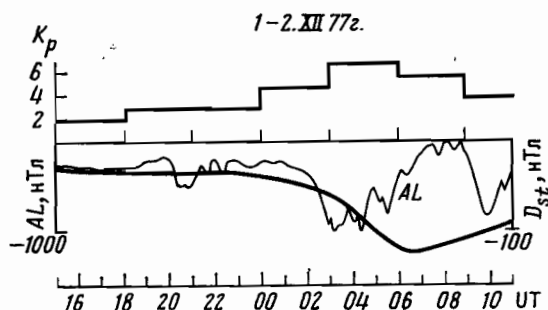


Рис. 2. Магнитные характеристики  $K_p$ , AL и  $D_{st}$  за 1–2.XII.1977 г.

экваториальной сторонах примерно одинакова и составляет  $\sim (5 \pm 6) \cdot 10^4 \text{ см}^{-3}$ . Минимум провала на всех трех витках располагается на инвариантной широте  $\Phi'_{\min} \sim 60^\circ$ .

Далее с ростом  $D_{st}$  ГИП перемещается на более низкие широты (в соответствии с формулой  $\Phi' = 64^\circ - 2K_p - 0.75 \pm 2$  [4]) и глубина его уменьшается (уменьшение глубины провала во время возмущений отмечалось ранее по наземным данным [5]). К началу фазы восстановления бури (08.16 ч UT, 2.XII)  $N_e \min \approx 6 \cdot 10^4 \text{ см}^{-3}$ ,  $\Phi'_{\min} \approx 48^\circ$ . С развитием бури экваториальная стенка ГИП становится более пологой.

На витке, совпадающем с началом первой суббури (19.40 ч UT), происходит резкое зрастание ионизации на полярной стенке ГИП, на фоне которого возникает субпровал. На следующем витке в период максимума суббури (21.10 ч UT) субпровал значительно углубляется и смещается к экватору на  $\sim 2^\circ$ . Далее на восстановительной фазе суббури (22.50 ч UT) субпровал вместе с ГИП в целом смещается к экватору до  $\Phi' \sim 65^\circ$  и становится менее глубоким. На следующем витке (00.22 ч UT) после окончания суббури субпровал исчезает.

В начале второй более интенсивной суббури (01.56 ч UT) на полюсной стороне возникает новый глубокий субпровал на  $\Phi' \sim 68^\circ$ . В максимуме развития этой суббури (03.30 ч UT) обнаруживаются два субпровала, которые на последующем витке (05.00 ч UT) при затухании второй суббури уменьшаются. Небольшое углубление субпровалов в 06.40 и 08.16 ч UT связано, вероятно, с новым увеличением активности (начало третьей суббури  $\sim 09$  ч UT).

Приведенные данные указывают на прямую связь динамики субпровалов, образующихся севернее ГИП, с развитием суббури.

#### ЛИТЕРАТУРА

1. Можаев А. М., Осипов Н. К. // Геомагнетизм и аэрономия. 1977. Т. 17. С. 273.
2. Осипов Н. К., Можаев А. М. // Геомагнетизм и аэрономия. 1978. Т. 18. С. 480.
3. Клименко В. В., Намгладзе А. А. // Геомагнетизм и аэрономия. 1981. Т. 21. С. 993.
4. Бенькова Н. П., Зикрач Э. К. // Физические процессы в области главного ионосферного провала. Прага, 1983. С. 7.
5. Бенькова Н. П., Зикрач Э. К., Федякина Н. И. // Phys. Solaritter. 1982, № 18. С. 115.

Институт земного магнетизма, ионосфера радиоволн АН СССР

Поступила в редакцию  
6.X 1987